

地理寒假作业（一）

“用地理眼看世界 追问行走的意义”

——深圳中学高中园地理摄影大赛

用地理眼看世界，追问行走的意义！

作为一名地理人，你一定会发现自然之美，能够感受大自然的力量，和谐共生。你也能发现人文之美，用丰富的学养捕捉精美的瞬间。那么，请拿起相机或手机，找好视角，以自己的方式解读，给行走留下最美的印记。高二地理组准备在寒假开展地理摄影大赛。

作品要求：

1.图片清晰（最关键）

2.横拍

3.主题鲜明

4.标签制作内容

作品主题：

主题解读：

拍摄地点：

作者格式：数理（科技、实验）高二（1）班 某某某

（以文本框形式，设置底色与作品协调的文本框，透明度为 30%，置于作品右下角）

作品请发送电子稿至邮箱 460627869@qq.com

地理寒假作业（二）

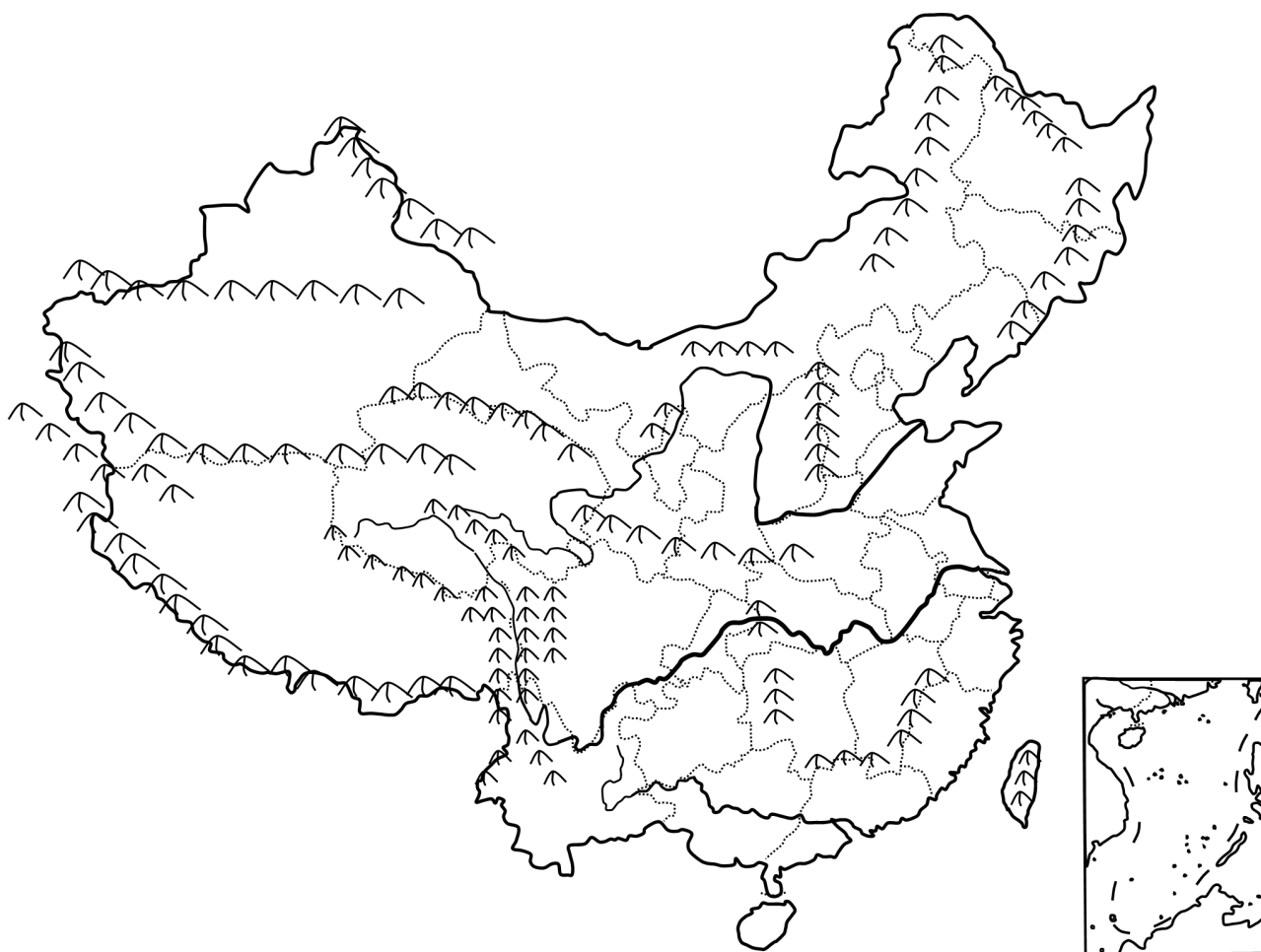
请另附 A4 纸绘制一绘“中国政区图”，并用不同颜色标注省区，并标注省会，省区名称。
参考底图如下：



中国政区底图

地理寒假作业（三）

请另附 A4 纸绘制一绘“中国地形图”，要标注主要山脉、高原、盆地原、丘陵。



地理寒假作业（四-五）

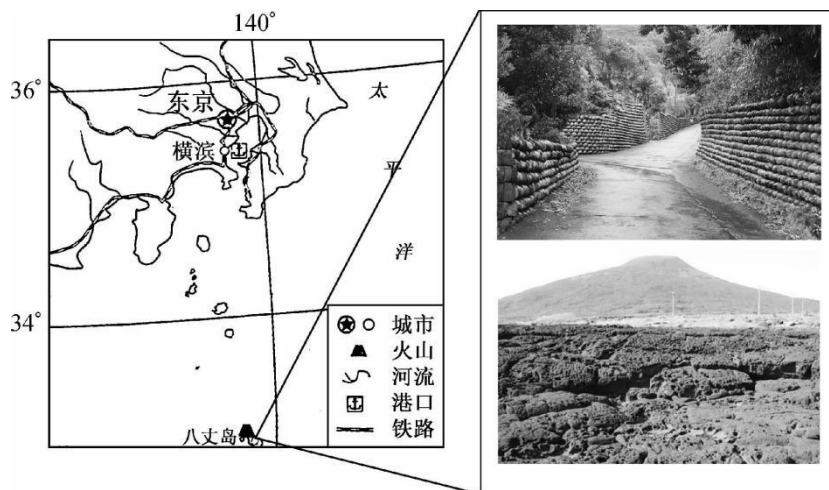
请另附 A4 纸绘制一绘“世界气候类型图”，并用不同颜色标注气候类型。

地理寒假作业（六）

海岛经济发展

36. 根据材料，回答问题。（22 分）

日本八丈岛是伊豆七岛最南端一岛，位于东京南方海上 287 千米，素有“离东京最近的夏威夷”盛誉，全岛面积约 70 平方千米，人口 1 万左右，历史上曾经是流放地，岛民用遍布小岛的礁石筑起了房子和围墙。八丈岛气候温暖湿润，年平均气温 18℃ 左右，有“常春之岛”之称。岛屿经济主要靠海产品、花卉和旅游业支撑，每年约有 16 万人来此观光旅游。下图示意日本局部地区及八丈岛景观图。



- (1) 推测八丈岛曾经作为流放地的可能原因。（6 分）
- (2) 简述八丈岛岛民用石头筑房的主要原因。（6 分）
- (3) 说明八丈岛经济模式对当地人口结构的影响。（4 分）
- (4) 分析促进八丈岛经济发展应采取的可行性措施。（6 分）

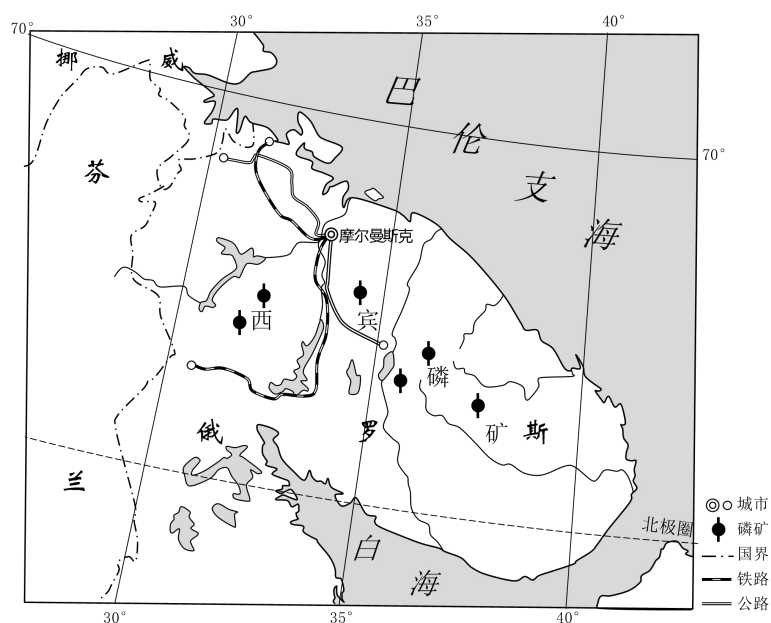
地理寒假作业（七）

磷矿资源开发与农业

36. 阅读图文材料，完成下列要求。（22 分）

磷灰石是制造磷肥和磷素及其化合物的最主要矿物原料，在农业生产中有着重要作用。位于俄罗斯西北部科拉半岛的希宾磷矿是世界上著名的岩浆岩型磷灰石矿。该地区已探明磷矿石储量的有 14 个矿床，矿石储量达 31.46 亿吨，磷精矿品位达 39.4%，为世界之冠。该矿区除磷灰石外，还有霞石、钛磁铁矿、楣石和霓石等多种伴生矿。

巴西磷矿资源都集中在中部地区，而主要农业区在巴西南部、北部和东北部。近年来，巴西农业发展迅速，国内磷肥自给率仅为 50%，需要从俄罗斯大量进口磷复肥。下图示意科拉半岛希宾磷矿分布。



(1) 评价希宾磷矿资源的开发条件。（8 分）

(2) 对于将希宾磷矿的磷灰石就地转化为磷复肥, 你是否赞成? 并说明理由。（6 分）

(3) 分析巴西近年来需要大量从俄罗斯进口磷复肥的原因。（8 分）

地理寒假作业（八）

一、选择题：本大题共 16 小题，每小题 3 分，共 48 分。在每小题列出的四个选项中，只有一项符合题目要求。

1984 年以来，贺兰山东麓地区葡萄酒产业发展经历了萌发停滞（I）、缓慢发展（II）、快速发展（III）和高速发展（IV）4 个阶段，葡萄种植面积持续增加，葡萄酒生产集群规模不断扩大且重心向东南方向移动。图 1 反映 4 个阶段葡萄种植区自然要素变化。据此完成 1-2 题。

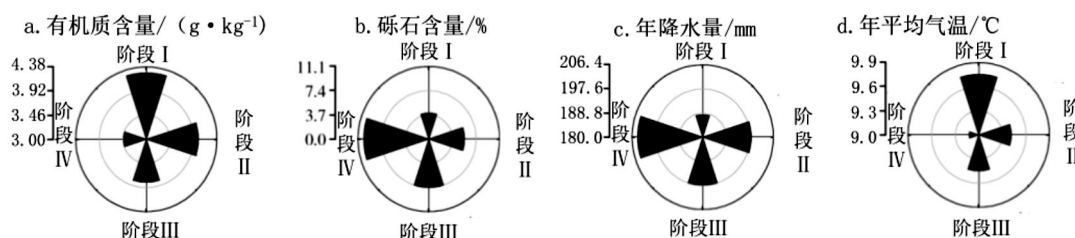


图 1

1. 1984 年以来，贺兰山东麓地区新增葡萄种植区趋向

- A. 土壤更贫瘠地区
- B. 黄河两侧平原区
- C. 暖湿化加剧地区
- D. 贺兰山高海拔区

2. 驱动该地区葡萄酒生产集群规模不断扩大的主要因素有

- ①劳动力大量回流
- ②政策支持与激励
- ③肥沃的土地资源多
- ④旺盛的市场需求
- ⑤适宜的气候条件
- ⑥企业示范效应显著

- A. ①③⑤
- B. ①④⑤
- C. ②③⑥
- D. ②④⑥

有效辐射为下垫面向上长波辐射与大气逆辐射的差值。图 2 表示 2003 - 2012 年云南省西双版纳热带季雨林林冠层向上长波辐射 (L_{\uparrow}) 及其上大气逆辐射 (L_{\downarrow}) 的月平均变化。据此完成 3-4 题。

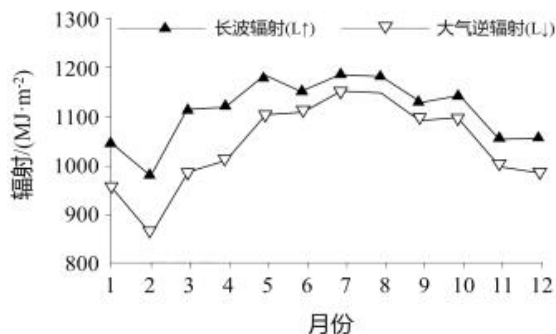


图 2

3. 与 7 - 9 月相比，2 - 4 月西双版纳热带季雨林林冠层之上的大气逆辐射值较低，主要是因为 2 - 4 月期间

- A. 降水较多
- B. 云雾较少
- C. 地表植被覆盖度较低
- D. 正午太阳高度角较大

4. 根据有效辐射变化可知，一年中该地热带季雨林的林冠层

- A. 表面的温度保持恒定
- B. 热量主要来自大气层
- C. 各月都是其上表层大气的冷源
- D. 夏季对大气加热效果小于冬季

伦敦泰晤士河南岸旧城核心地带的某片区，19 世纪初期工业繁荣、交通便捷。20 世纪 30 年代开始，该片区工业快速衰落。后经持续更新改造，该片区现已建成国家剧院、艺术中心和电影院等文化场馆，成为伦敦最具代表性的文化创意片区之一。据此完成 5-6 题。

5. 更新改造初期，选择该片区布局文化场馆的最有利条件是

- A. 失业工人数量多
- B. 工业闲置用地多
- C. 功能分区较完善
- D. 生产技术水平高

6. 更新改造后，泰晤士河该片区河段功能提升最明显的是

- A. 休闲游憩 B. 水源供给 C. 物流运输 D. 生态保育

都市圈功能分工指数可反映都市圈内“生产性服务业在中心城市集聚、制造业在外围城市集聚”的城市分工特点，指数值越大，表明分工程度越高。下表为 2008 年、2015 年和 2019 年我国三个都市圈功能分工指数值。据此完成 7-8 题。

表 1

名称	2008 年	2015 年	2019 年
上海都市圈	3.45	5.21	6.54
兰州都市圈	2.20	2.36	2.78
合肥都市圈	2.16	0.81	0.97

7. 从区域空间组织视角考虑，与 2008 年相比，2019 年上海都市圈内

- A. 各城市间的信息流大幅降低 B. 城市间功能互补性明显减弱
C. 中心城市辐射能力显著提升 D. 中心城市制造业多样化增强

8. 根据合肥和兰州两个都市圈的功能分工指数值变化，可以判断

- A. 兰州市生产性服务业产值降低 B. 兰州都市圈的地域范围扩大
C. 合肥市受上海都市圈影响较大 D. 合肥都市圈的城市数量增多

峡湾是冰川 U 形谷后期被海水淹没而形成的槽形谷。极地气候峡湾几乎常年被海冰或冰川覆盖，而温带气候峡湾全年几乎没有海冰覆盖。图 3 示意在北半球发育极地气候峡湾的甲地和发育温带气候峡湾的乙地位置。据此完成 9-10 题。

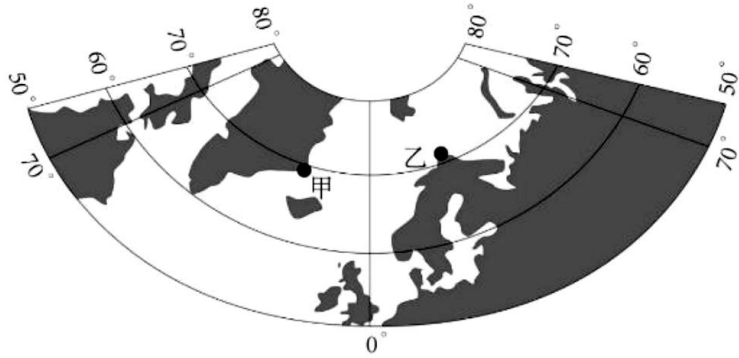


图 3

9. 与甲地对比，温带气候峡湾在乙地发育的主要原因是乙地

- A. 冬季白昼的时长更长 B. 受到了暖流增温影响
C. 经历了更强的构造运动 D. 海平面上升的幅度更大

10. 研究发现，极地气候峡湾沉积物中有机碳的累积速率往往较温带气候峡湾低，主要是因为极地气候峡湾区

- ①植被覆盖度更低 ②入海的径流更少
③海水的盐度更低 ④波浪的动力更小

- A. ①② B. ①③ C. ②④ D. ③④

发育于云南省临沧市某处半山腰的硝洞是一个石灰岩溶洞，洞内有较厚的夹杂石灰岩砾石块的粉砂质黏土沉积物，其表层有约 2m 厚的文化层（含有古人类活动遗留物的沉积层）。下左图为硝洞剖面示意图；下右图为自洞内望向洞口方向的景观照片。据此完成 11-12 题。



图 4



图 5

11. 参与该溶洞形成的主要外力作用包括

- ①化学溶蚀 ②重力崩塌 ③冰川刨蚀 ④风力吹蚀 ⑤流水侵蚀

- A. ①②③ B. ①②⑤ C. ①④⑤ D. ③④⑤

12. 可推断，该溶洞内的粉砂质黏土沉积物主要源自

- A. 洞顶的滴水化学淀积物 B. 人类活动遗留的堆填物
C. 洞内石灰岩崩塌堆积物 D. 地质时期的流水搬运物

图 6 为珠穆朗玛峰南坡某冰川区暖季上、下气流运动状况示意图。据此完成 13-14 题。

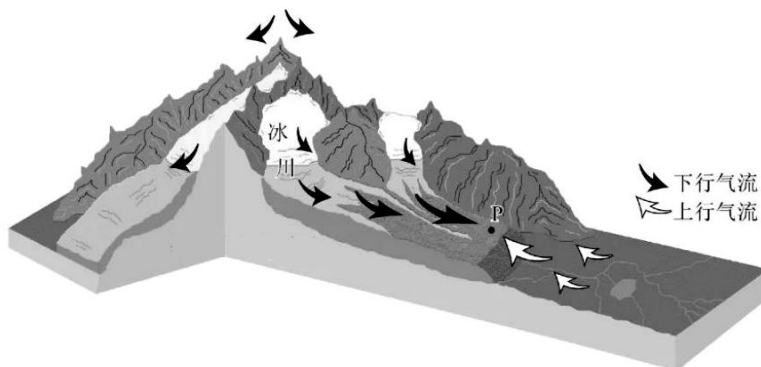


图 6

13. 若暖季上、下行气流常在图中 P 地附近交汇，则该地

- A. 大气下沉气流增强 B. 冰面的流水作用减弱
C. 局地降水概率增加 D. 下行风焚风效应减弱

14. 近 30 年来，该地区暖季午间下行气流势力呈现增强趋势，由此可引起 P 地附近

- A. 年均气温趋于降低 B. 冰川消融加快
C. 年降水量趋于增加 D. 湖泊效应增强

距今约 3000 年前的金沙遗址 ($30^{\circ} 41' N$, $104^{\circ} 01' E$) 是古蜀国时期的一处大型聚落遗址。在该遗址祭祀区的东部、有一处九柱建筑基址，其 9 个柱洞呈“田”字形分布。研究发现，这些柱洞分布具有一定的天文属性。图 7 为九柱建筑的复原示意图；图 8 示意该建筑柱洞平面分布及当时冬至日的日出方位。据此完成 15-16 题。

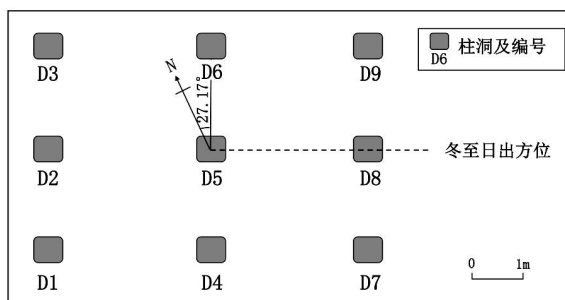
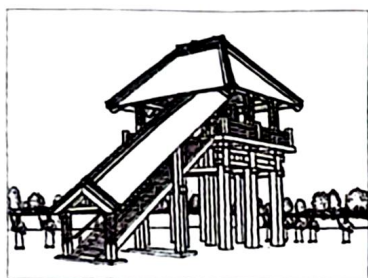


图 7

图 8

15. 如果当时祭祀人员站在图 8 中的 D5 处，他在夏至日看到的日出方位位于
- A. D5→D6 连线方向 B. D6 和 D9 之间
- C. D5→D9 连线方向 D. D8 和 D9 之间
16. 已知 3000 年前的黄赤交角比现今大，与现在遗址地居民相比，则当时金沙先民在
- A. 春分日看到日出时间更早 B. 夏至日经历更长的夜长
- C. 秋分日看到日落时间更晚 D. 冬至日经历更短的昼长

地理寒假作业（九-十）

二、非选择题：共 52 分。考生根据要求作答。

17. 阅读图文资料，完成下列要求。（18 分）

辽宁省大连市的松木岛化工园区距主城区约 60 km，占地面积约 35 km²。2005 年，该园区开始承接大连市的化工企业转移，2016 年被纳入国家级新区——大连金普新区。该园区大部分职工通勤于工作地和主城区之间，呈现职住分离现象。紧邻松木岛化工区的 S 村，目前户籍人口约 3800 人，常住人口约 2300 人，村民的主要收入来源于种植业、渔业、废弃物循环利用产业及外出务工。图 9 示意松木岛化工园区及 S 村地理位置。

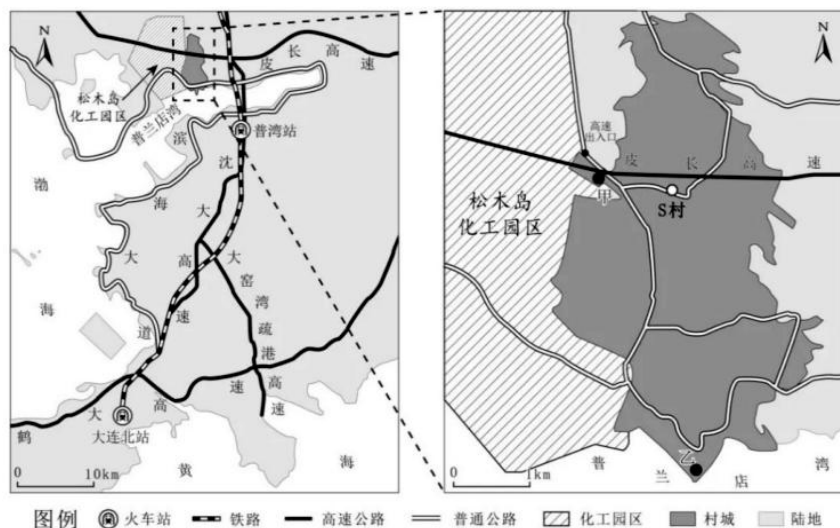


图 9

- (1) 简述松木岛化工园区承接大连市的化工企业转移的有利区位条件。（6 分）
- (2) 结合 S 村村民主要收入来源，提出该园区帮扶该村经济发展的有效措施。（6 分）
- (3) 为解决职工的职住分离问题，该园区拟在 S 村的甲、乙两地建设职工生活区。分析这两地居住环境的优劣。（6 分）

18. 阅读图文资料，完成下列要求。（12 分）

针对干旱区煤矿采空区治理和水资源短缺等问题，我国学者提出利用采空区建设地下水库的建议。M 煤矿矿区位于晋陕蒙交界地带，属温带大陆性季风气候，地下水资源丰富。该煤矿经过多年开采，已形成采空区。调查发现，该采空区水体中含有来自地表的污染物。图 10 示意 M 煤矿采空区及地层剖面。

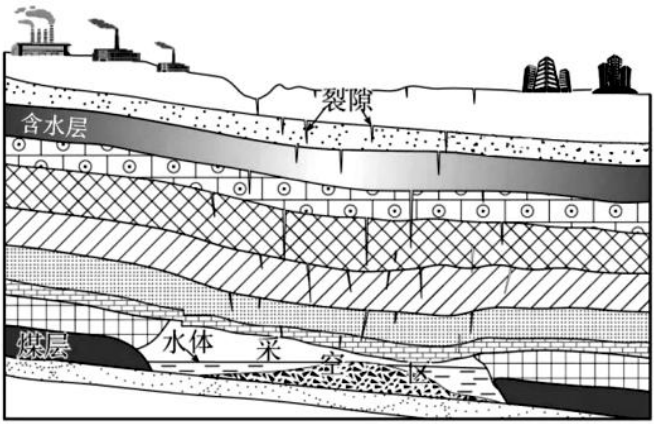
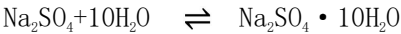


图 10

- (1) 简述 M 煤矿矿区地表污染物进入采空区水体的自然地理过程。（6 分）
- (2) 分析在 M 煤矿采空区建设地下水库的意义。（6 分）

19. 阅读图文资料，完成下列要求。（22 分）

当气温下降，湿度上升时，硫酸钠易发生水合反应形成芒硝（ $\text{Na}_2\text{SO}_4 \cdot 10\text{H}_2\text{O}$ ），其体积会强烈膨胀；在气温上升、湿度减小时，芒硝又可脱水形成无水硫酸钠（ Na_2SO_4 ）。上述可逆反应过程可表示为：



四川省仁寿县位于亚热带季风气候。调查发现，在该县牛角寨山区紫红色砂岩表面及现存唐代石刻雕像表层的裂隙中，存在含有硫酸钠成分的硫酸盐物质。图 11 示意牛角寨山区及附近区域地质剖面 and 石刻雕像位置；图 12 反映 2021 年 8 月牛角寨山区气温和相对湿度的日变化。

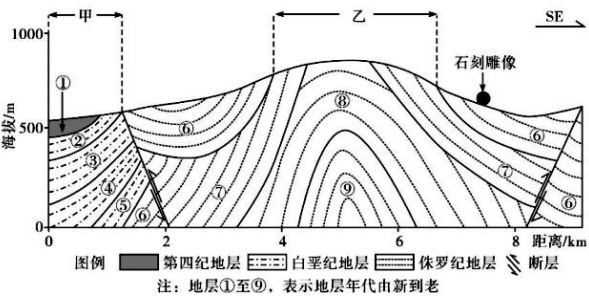


图 11

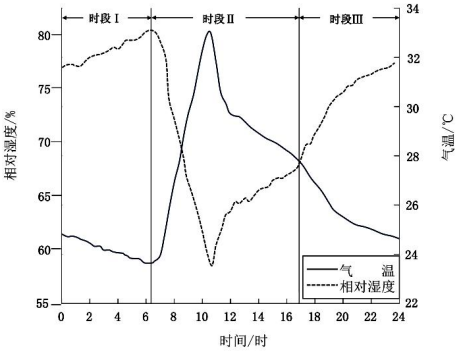


图 12

(1) 分析图 11 中甲、乙两区域地质构造和地层年代特征，并据此判断哪个区域遭受的地表剥蚀作用更强。(8 分)

(2) 根据硫酸钠的可逆反应过程，简述牛角山区砂岩表面的硫酸钠在图 12 所示三个阶段中，分别可能发生的变化过程。(8 分)

(3) 结合当地的气候条件，分析裂隙中硫酸钠的存在对该地石刻雕像表层岩体完整性的影响。(6 分)